

K.62

5

И Н С Т И Т У Т
ЯДЕРНОЙ ФИЗИКИ СОАН СССР

И Я Ф 46 - 72

А.П.Кольченко, С.Г.Раутиан, А.М.Шалагин

ЯДРО ИНТЕГРАЛА СТОЛКНОВЕНИЙ

Новосибирск

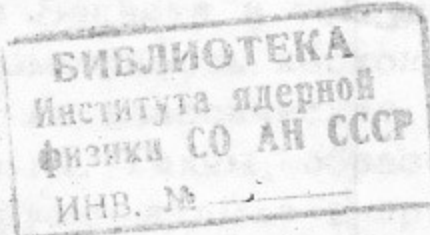
1972

А.П.Кольченко, С.Г.Раутиан, А.М.Шалагин

ЯДРО ИНТЕГРАЛА СТОЛКНОВЕНИЙ

А Н Н О Т А Ц И Я

Получены общие выражения, связывающие ядро интеграла столкновений с дифференциальным сечением рассеяния. Вводится понятие одномерного ядра и одномерной частоты столкновений и выясняются их общие свойства. Выводы иллюстрируются на некоторых частных видах потенциала взаимодействия. Основное внимание уделено рассеянию с малым изменением скорости.



1. ВВЕДЕНИЕ

Характерной особенностью многих газовых систем, находящихся в сильном электромагнитном поле, является резкая неравномерность распределения атомов по скоростям . Это обстоятельство оказывается в форме лэмбовского провала, в ряде эффектов нелинейной спектроскопии и т.д. Разнообразные релаксационные процессы могут в той или иной мере деформировать распределение по . До последнего времени интерпретация наблюдаемых данных проводилась в рамках двух моделей: модели релаксационных констант и модели сильных столкновений. Между тем, совершенно общие физические соображения говорят о том, что в указанных условиях должны проявляться и столкновения с малым изменением скорости (модель слабых столкновений /1,2/). действительно, в модели релаксационных констант учитывается тушение и сбой фазы атомного осциллятора (Вайскопфовский механизм уширения, см., например,/3/. Известно, однако, что сбой фазы и упругое рассеяние тесно связаны между собой: если, например, возмущается лишь одно из комбинирующих состояний, то сечение уширения линии равно половине полного сечения рассеяния (/3/, стр.500). Из сказанного ясно, что сбой фазы сопровождается, по крайней мере, дифракционной неопределенностью скорости, равной по порядку величины:

$$\frac{\Delta \bar{v}}{\bar{v}} \sim \frac{\lambda}{\rho_v} = \frac{\hbar}{m \rho_v \bar{v}} \sim 5/\tilde{\rho}_v \sqrt{MT^K} \quad (1.1)$$

Здесь λ -длина волны де-Бройля; ρ_v -радиус Вайскопфа; m , \bar{v} - масса и скорость атома. В последнем равенстве $\tilde{\rho}_v$ есть $\rho_v \cdot A$, а M -атомный вес. Для типичных значений ($M=20$, $T=400^{\circ}\text{K}$, $\rho_v=5\text{\AA}$) имеем $\Delta \bar{v}/\bar{v} \sim 10^{-2}$. Такой же порядок величины имеет и отношение ширины провала Беннета к ширине максвелловского распределения . Это означает, что минимально малое изменение скорости может приводить к уширению провалов Беннета в той же мере, что и сбой фазы атомного осциллятора. Возможность нескольких столкновений за время жизни и "рассеяния на классические углы" еще более усиливает эффект слабых столкновений. Таким образом, Вайскопфовский механизм уширения и диффузия атомов в пространстве скоростей и по существу дела, и по числовым параметрам должны

одновременно учитываться при анализе нелинейных явлений в газах.

Для описания всех интересующих нас процессов можно использовать систему уравнений /2/ для элементов ρ_{ij} матрицы плотности:

$$\begin{aligned} (\partial/\partial t + \vec{v}\nabla + \Gamma_j) \rho_{jj} &= \pm 2 \operatorname{Re} [i V_{mn}^* \rho_{mn}] + q_j + S_j; \quad j = m, n, \\ (\partial/\partial t + \vec{v}\nabla + \Gamma) \rho_{mn} &= i V_{mn} [\rho_m - \rho_n] + S; \\ S_j &= -\gamma_j \rho_{jj} + \int A_j(\vec{v}', \vec{v}) \rho_{jj}(\vec{v}, \vec{v}', t) d\vec{v}'; \\ S &= -\gamma \rho_{mn} + \int A(\vec{v}', \vec{v}) \rho_{mn}(\vec{v}, \vec{v}', t) d\vec{v}'; \quad V_{mn} = V_{mn}(\vec{v}, t). \end{aligned} \quad (1.2)$$

Здесь q_j — скорость возбуждения атомов в состояние j , \vec{v}' ; $A_j(\vec{v}', \vec{v})$, $A(\vec{v}', \vec{v})$ — ядра интегралов столкновений S_j , S ; $V_{mn}(\vec{v}, t) = (e_{mn}/\hbar) E(\vec{v}, t) e^{i\omega_{mn}t}$ — матричный элемент взаимодействия с внешним полем. Специфическая особенность уравнений (1.2), отличающая их от хорошо исследованных уравнений кинетической теории газов, связана с динамическими членами (с $V_{mn}(\vec{v}, t)$), которые, в частности, и обуславливают существенно неравновесный характер стационарных решений. Поэтому методы и представления, возникающие при исследовании явлений типа теплопроводности, диффузии и т.п., оказываются неадекватными в задачах нелинейной спектроскопии. Проявляется это, прежде всего, в том, что в этих задачах основными характеристиками релаксационных процессов служат непосредственно ядра столкновений, а не их первые моменты, как в кинетической теории. Этот качественный вывод, вытекающий из общих соображений, подтверждается и анализом ряда конкретных задач /1,2,4-8/.

Данная работа посвящена исследованию ядра диагонального интеграла столкновений в (1.2). В разделе 2 выясняются некоторые общие свойства ядра, не связанные с конкретным видом дифференциального сечения рассеяния. В разделах 3-5 рассмотрены три конкретные модели, представляющие интерес в случае атом-атомных столкновений.

2. Ядро $A_j(\vec{v}', \vec{v})$ диагонального интеграла столкновений.¹⁾

Ядро $A(\vec{v}', \vec{v})$ связано с дифференциальным сечением следующим образом:

$$A(\vec{v}', \vec{v}) = 2 \int \sigma(\vec{u}, \vec{u}) f_\alpha(\vec{v}'_a) \delta(\vec{V} - \vec{V}') \delta(u^2 - u'^2) d\vec{v}_a d\vec{v}'_a, \quad (2.1)$$

$$\vec{V} = \frac{m\vec{v} + m_a\vec{v}_a}{m + m_a}; \quad \vec{V}' = \frac{m\vec{v}' + m_a\vec{v}'_a}{m + m_a}; \quad \vec{u} = \vec{v} - \vec{v}_a; \quad \vec{u}' = \vec{v}' - \vec{v}'_a$$

Здесь m_a , \vec{v}_a , \vec{v}'_a — масса и скорости возмущающей частицы до и после столкновений; \vec{V} , \vec{V}' , \vec{u} , \vec{u}' — скорости центра инерции и относительные скорости; функция $f_\alpha(\vec{v}'_a)$ задает распределение возмущающих частиц по \vec{v}'_a , принимаемое в дальнейшем за Максвеллово

$$f_\alpha(\vec{v}_a) = N_\alpha W_\alpha(\vec{v}_a); \quad W_\alpha(\vec{v}_a) = \frac{1}{(\sqrt{\pi} \vec{v}_a)^3} e^{-\frac{(\vec{v}_a/\bar{v}_a)^2}{2}}; \quad \bar{v}_a^2 = \frac{2kT_\alpha}{m_\alpha}. \quad (2.2)$$

δ -функции, содержащиеся в (2.1), отражают законы сохранения импульса и энергии. Рис.1 иллюстрирует соотношение между различными векторами. Угол ϑ между \vec{u}' и \vec{u} есть обычный угол рассеяния. Более удобной переменной является вектор $\vec{u}_o = (\vec{u}' + \vec{u})/2$. Действительно, в силу законов сохранения имеем

$$\begin{aligned} \vec{V}' - \vec{V} &= \vec{\xi} - (\mu/m)(\vec{u}' - \vec{u}) = 0; \quad \vec{\xi} = \vec{v}' - \vec{v}; \quad \vec{u}_o = (\vec{u}' + \vec{u})/2; \\ \vec{u}' &= \vec{u}_o + (m/2\mu)\vec{\xi}; \quad \vec{u} = \vec{u}_o - (m/2\mu)\vec{\xi}; \quad u_o = (\xi/2)\operatorname{ctg}\frac{\vartheta}{2}; \\ u'^2 - u^2 &= (\vec{u}' + \vec{u})(\vec{u}' - \vec{u}) = 2(m/\mu)\vec{\xi}\vec{u}_o; \quad \mu = \frac{m m_a}{m + m_a}. \end{aligned} \quad (2.3)$$

Вектор \vec{u}_o ортогонален к $\vec{\xi}$, а фиксация величины $\vec{\xi}$ фиксирует и разность $\vec{u}' - \vec{u}$. Учтем также, что в случае центральных

1) Индекс j в дальнейшем опускаем.

сил, (которые только и рассматриваются ниже), дифференциональное сечение зависит от $|\vec{u}|$ и угла θ . Будем считать поэтому $\sigma(\vec{u}', \vec{u})$ функцией от $|\vec{u}'|$ и $|\vec{u}' - \vec{u}|$, сохраняя прежнее обозначение: $\sigma(u, |\vec{u}' - \vec{u}|)$. Интегрируя по углу φ (рис.1) и используя δ -функции, получим из (2.1):

$$\begin{aligned} A(\vec{v}', \vec{v}) &= (m/\mu)^2 \xi^{-1} \int \sigma(u, m\xi/\mu) f_a(\vec{v}' - m\vec{\xi}/2\mu - \vec{u}_0) d\vec{u}_0 = \\ &= N_a \bar{v}_a A(\vec{v} - \gamma \vec{v}') \cdot \frac{\alpha \bar{v}}{\xi} \frac{8\pi}{\bar{v}_a^2} \int_0^\infty \sigma(u, m\xi/\mu) I_0(2\xi u_0/\bar{v}_a^2) \cdot \\ &\quad \exp[-u_0^2/\bar{v}_a^2] du_0; \\ u^2 &= u_0^2 + (m\xi/2\mu)^2; \quad \gamma = (m - m_a)/(m + m_a); \quad \alpha^2 = \left(\frac{2\mu \bar{v}_a}{m \bar{v}}\right)^2 = \\ &= \frac{4m m_a}{(m + m_a)^2} \frac{T_a}{T}; \quad \xi^2 = v^2 - (\vec{\xi} \cdot \vec{v}/\xi)^2; \\ A(\vec{v} - \gamma \vec{v}') &= (\sqrt{\pi} \alpha \bar{v})^{-3} \exp[-(\vec{v} - \gamma \vec{v}')^2/\alpha^2 \bar{v}^2]. \end{aligned} \tag{2.4}$$

Здесь $I_0(z)$ — функция Бесселя нулевого порядка мнимого аргумента. Таким образом, ядро $A(\vec{v}', \vec{v})$ может быть найдено из дифференциального сечения с помощью одной квадратуры. Рассмотрим некоторые общие свойства $A(\vec{v}', \vec{v})$, вытекающие из (2.4).

Ядро $A(\vec{v}', \vec{v})$ имеет вид произведения функции $A(\vec{v} - \gamma \vec{v}')$ на множитель, симметричный относительно замены $\vec{v} \leftrightarrow \vec{v}'$.

Множитель $A(\vec{v} - \gamma \vec{v}')$ носит название ядра Кейлсона-Сторера; оно было предложено в [9] для модельного описания ядра $A(\vec{v}', \vec{v})$. Формула (2.4) показывает, что некоторые основания для такой аппроксимации существуют. Однако ясна и её ограниченность — ядро

$A(\vec{v} - \gamma \vec{v}')$ никак не отражает специфику элементарного акта рассеяния. В случае же селективного рассеяния (т.е. преимущественного рассеяния с малыми $|\vec{v}' - \vec{v}'|/\bar{v}$) (характер ядра $A(\vec{v}', \vec{v})$)

определяется, главным образом, дифференциальным сечением $\sigma(u, m\xi/\mu)$, а не $A(\vec{v} - \gamma \vec{v}')$. Кроме того, реальное трехмерное ядро содержит сингularity, тесно связанную с нали-

2) Точнее говоря, ядро A в (2.4) есть обобщение ядра Кейлсона-Сторера на случай различных температур ($T_a \neq T$).

чием δ -функции по энергии.

Легко проверить, что при $T = T_\alpha$ имеет место соотношение

$$W(\vec{v}') \mathcal{A}(\vec{v}', \vec{v}) = W(\vec{v}) \mathcal{A}(\vec{v}, \vec{v}'), \quad (2.5)$$

если $W(\vec{v})$ — максвелловское распределение. Из (2.5) следует

$$\int \mathcal{A}(\vec{v}', \vec{v}) W(\vec{v}') d\vec{v}' = \nu(\vec{v}) W(\vec{v}); \quad \nu(\vec{v}) = \int \mathcal{A}(\vec{v}, \vec{v}') d\vec{v}', \quad (2.6)$$

где $\nu(\vec{v})$ — частота "прихода" в интеграле столкновений. Таким образом, интеграл столкновений с ядром (2.4) оставляет равновесное распределение равновесным (с точностью до зависимости ν от \vec{v}).

С помощью (2.5) можно установить также следующее: если предположить, что ядро $\mathcal{A}(\vec{v}', \vec{v})$ зависит только от комбинации $\vec{v} - \gamma \vec{v}'$, то такое ядро с необходимостью Кейлсон-Стореровское.

Частота столкновений $\nu(\vec{v})$ может быть выражена через полное сечение рассеяния

$$\begin{aligned} \nu(\vec{v}) &= \int \mathcal{A}(\vec{v}, \vec{v}') d\vec{v}' = \int \sigma(u) f_a(\vec{v} - \vec{u}) u d\vec{u}; \\ \sigma(u) &= \int \sigma(u, |\vec{u}' - \vec{u}|) d\theta. \end{aligned} \quad (2.7)$$

Из (2.7) видно, что ν зависит от отношения $|\vec{v}'|$ к среднеполовой скорости \bar{v}_a возмущающих частиц. Обычно рассматриваемая средняя частота столкновений связана с ν формулой

$$\begin{aligned} \langle \nu \rangle &= \int \nu(\vec{v}) W(\vec{v}) d\vec{v} = \frac{4N_a}{\sqrt{\pi} \bar{u}^3} \int_0^\infty \sigma(u) u^3 e^{-u^2/\bar{u}^2} du; \\ \bar{u}^2 &= \bar{v}^2 + \bar{v}_a^2. \end{aligned} \quad (2.8)$$

Во многих моделях столкновений полное сечение зависит от u по

степенному закону

$$\sigma(u) = \sigma(\bar{u}) (\bar{u}/u)^n \quad (2.9)$$

Случай $n=0$ отвечает модели непроницаемых сфер, $n=2$ - Борновскому приближению ($\sigma(u, m\bar{s}/\mu) = \sigma(m\bar{s}/\mu)$), $n=1$ и $n=2/5$ - потенциалам взаимодействия сталкивающихся атомов типа $1/r^3$ и $1/r^6$. Из (2.7) для (2.9) имеем

$$v(\vec{v}) = \langle v \rangle (\bar{u}/\bar{v}_a)^{n-1} \Phi\left(\frac{n-1}{2}, \frac{3}{2}; -\frac{v^2}{\bar{v}_a^2}\right); \quad (2.10)$$

$$\langle v \rangle = \frac{2}{\sqrt{\pi}} \bar{u} N_a \sigma(\bar{u}) \Gamma(2 - \frac{n}{2}),$$

где $\Phi(\alpha, \gamma; z)$ - вырожденная гипергеометрическая функция. В случае $n=0, 1, 2$ формула (2.10) даёт:

$$v(\vec{v}) = N_a \bar{v}_a \sigma(\bar{v}_a) \left\{ e^{-z^2/\sqrt{\pi}} + (z + \frac{1}{2z}) \Phi(z) \right\}; \quad n=0;$$

$$v(\vec{v}) = \frac{2}{\sqrt{\pi}} N_a \bar{v}_a \sigma(\bar{v}_a), \quad n=1; \quad (2.11)$$

$$v(\vec{v}) = N_a \bar{v}_a \sigma(\bar{v}_a) z^{-1} \Phi(z), \quad z = |\vec{v}|/\bar{v}_a, \quad n=2.$$

На рис.2 даны графики этих функций, а также график $v(\vec{v})$ для $n=2/5$ (кривые 1-4). Из рисунка видно, что в области $|\vec{v}| \lesssim \bar{v}_a$ зависимость v от $|\vec{v}|$ сравнительно не сильная, т.к. возмущаемая частица практически неподвижна. При $|\vec{v}| \gg \bar{v}_a$ имеет место асимптотическое разложение

$$v(v) \cong N_a |\vec{v}| \sigma(\bar{v}) \left[1 + (n-1)(n-2) \frac{\bar{v}_a^2}{4h^2 r^2} \right], \quad (|\vec{v}| \gg \bar{v}_a). \quad (2.12)$$

$$v(v) \equiv v(\vec{v}).$$

Здесь $v(v)$ определяется движением возмущаемой частицы.

Во многих конкретных ситуациях электромагнитное поле имеет вид плоской волны. Такое поле вызывает неравновесность рас-

пределения лишь для проекции скорости на волновой вектор (v_{\parallel}). Зависимость ν от v и "перенос" неравновесности на ортогональные компоненты (\vec{v}_{\perp}) скорости \vec{v} делают неравновесным и распределение атомов по \vec{v}_{\perp} . Этот эффект во многих случаях не очень сильный, и тогда целесообразно рассматривать "одномерное" ядро:

$$A(v'_{\parallel}, v_{\parallel}) = \int A(\vec{v}', \vec{v}) W(\vec{v}'_{\perp}) d\vec{v}'_{\perp} d\vec{v}_{\perp}. \quad (2.13)$$

$$\nu(v_{\parallel}) = \int A(v_{\parallel}, v'_{\parallel}) d v'_{\parallel} = \int \nu(v) W(\vec{v}_{\perp}) d\vec{v}_{\perp}; W(\vec{v}_{\perp}) = \frac{\ell}{\pi \bar{v}^2} e^{-\frac{\vec{v}_{\perp}^2}{\bar{v}^2}}. \quad (2.14)$$

С помощью несложных преобразований можно получить:

$$A(v'_{\parallel}, v_{\parallel}) = \frac{2}{\sqrt{\pi}} \left(\frac{m}{\mu} \right)^2 \frac{N_a}{\bar{u}} \iint_{-\infty}^{\infty} e^{-x^2 - y^2} dx dy \int_{|\xi_{\parallel}|/\sqrt{1+\beta^2}}^{\infty} \sigma(u, m\xi/\mu) e^{-\rho^2(z)} dz; \\ \rho(z) = mz/2\mu\bar{u} - \xi_{\parallel}(v'_{\parallel} - c\xi_{\parallel}/2)/z\bar{u}; \quad \xi^2 = z^2 + \frac{\beta^2 \xi_{\parallel}^2}{1+\beta^2}; \quad (2.15)$$

$$c = m\bar{v}^2/\mu\bar{u}^2; \quad \xi_{\parallel} = v'_{\parallel} - v_{\parallel}; \quad \beta = \bar{v}/\bar{v}_a, \quad \bar{u}^2 = \bar{v}^2 + \bar{v}_a^2;$$

$$\frac{u^2}{\bar{u}^2} = x^2 + \left[1 + \beta^2 \xi_{\parallel}^2 / z^2 (1 + \beta^2) \right] \left[y / \sqrt{1 + \beta^2} + (v'_{\parallel} - c\xi_{\parallel}/2) \bar{u}^{-1} \sqrt{1 - \frac{\xi_{\parallel}^2}{z^2(1+\beta^2)}} \right]^2 + \\ + (m\xi/2\mu\bar{u})^2.$$

$$\nu(v'_{\parallel}) = (N_a / \pi \sqrt{\pi} \bar{v}_a \bar{u}^2) \int_0^{3m\bar{u}/\mu} \sigma(u) \cdot u \cdot \exp \left\{ - \left[\frac{u^2}{\bar{u}^2} - (v_{\parallel} - v'_{\parallel})^2 / \bar{v}_a^2 \right] \right\} d\bar{u}; \\ \sigma(u) = (2\pi/u^2) (m/\mu)^2 \int_0^{\infty} \sigma(u, \xi^2/\mu) \xi d\xi. \quad (2.16)$$

Из (2.15) следуют некоторые общие свойства $A(v''_1, v''_2)$. За независимые переменные целесообразно принять v''_1 и $\xi''_1 = v''_1 - v''_2$; скорость v''_1 входит только в комбинации $v''_1 - C\xi''_1/2$; если температуры газов одинаковы, то $C=1$ и $v''_1 - C\xi''_1/2 = (v''_1 + v''_2)/2$. В точке $\xi''_1 = 0$ ядро $A(v''_1, \xi''_1)$ имеет "излом" (нижний предел содержит $|\xi''_1|$), который становится все более тупым по мере увеличения β и при $\beta \rightarrow \infty$ исчезает совсем.

В общем случае $A(v''_1, \xi''_1)$ как функция ξ''_1 асимметрично относительно точки $\xi''_1 = 0$, причем ядро имеет большие значения в области $v''_1 \xi''_1 > 0$. Физически это эквивалентно эффективному торможению частицы; например, при $v''_1 > 0$ условие $v''_1 \xi''_1 = v''_1 (v''_1 - v''_2) > 0$ означает преимущественное рассеяние в область с меньшими скоростями.

Особый интерес представляет селективное рассеяние, когда $m\xi/\mu \bar{u} \ll 1$, и эти члены можно отбросить:

$$A(v''_1, \xi''_1) = (2N_a m^2 / \sqrt{\pi} \bar{u} \mu^2) \int_{-\infty}^{\infty} \int_{-\infty}^{\infty} e^{-x^2 - y^2} dx dy \int \frac{\sigma(u, m\xi/\mu)}{|\xi''_1| / \sqrt{1+\beta^2}} \quad (2.17)$$

$$\exp[-(\xi''_1 v''_1 / z \bar{u})^2] dz; \quad \xi''_1^2 = z^2 + \xi''_1^2 \beta^2 / (1 + \beta^2);$$

$$\frac{u^2}{\bar{u}^2} = x^2 + (\xi''_1/z)^2 \left[y / \sqrt{1 + \beta^2} + (v''_1 / \bar{u}) \sqrt{1 - \xi''_1^2 / z^2 (1 + \beta^2)} \right]^2.$$

В этом приближении $A(v''_1, \xi''_1)$ симметрично относительно точки $\xi''_1 = 0$. Кроме того, зависимость ядра от v''_1 значительно более плавная (характерный масштаб \bar{u}), чем от ξ''_1 . Таким образом, в случае селективного рассеяния ядро можно считать разностным (зависящим от $v''_1 - v''_2 = \xi''_1$) со слабой зависимостью от v''_1 . Для $\sigma(v''_1)$ приближение селективности означает, что верхний предел $2m u / \bar{u}$ в выражении (2.16) для $\sigma(u)$ можно заменить на ∞ .

Параметр $\beta = \bar{v}/\bar{v}_a$ входит в (2.17) в таких комбинациях, которые изменяются в пределах $0; 1$ при $0 < \beta < \infty$. Поэтому селективное ядро мало чувствительно к изменению β . Основные же

особенности ядра определяются дифференциальным сечением $\sigma(u, m\zeta/\mu)$. Иллюстрируем это утверждение на следующем важном примере:

$$\sigma(u, m\zeta/\mu) = \sigma_0 (u/\bar{u})^s F(\zeta/f) \quad (2.18)$$

Под величиной f будем понимать характерную ширину дифференциального сечения (в шкале v, v'). Функцию $F(\zeta, f)$ будем нормировать на $F(0) = 1$, так чтобы σ_0 имело смысл дифференциального сечения рассеяния вперед при $u = \bar{u}$. Модель (2.18) приводит в селективном случае к степенной зависимости $\sigma(u)$, т.е. отвечает модели (2.9):

$$\sigma(u) = 2\pi\sigma_0 (mf/\mu\bar{u})^2 (\bar{u}/u)^n \int_0^\infty F(\eta) \eta d\eta. \quad (2.19)$$

Для модели (2.18) из (2.17) следует:

$$A(v'_n, \zeta_n) = (2\sqrt{\pi} \bar{u} N_a \sigma_0 / f) (mf/\mu\bar{u})^2 \Gamma(1 + \frac{s}{2}) \int_{\zeta_n/f}^\infty F(\eta) d\eta; \quad (\beta \ll 1, v'_n \lesssim \bar{v}); \quad (2.20)$$

$$A(v'_n, \zeta_n) = (2\bar{u} N_a \sigma_0 / f) (mf/\mu\bar{u})^2 \Gamma(\frac{1+s}{2}) \int_0^\infty F(\sqrt{\eta^2 + \zeta_n^2 / f^2}) d\eta; \quad (\beta \gg 1, v'_n \ll \bar{v}) \quad (2.21)$$

Итак, характерный масштаб ядра как функции ζ_n есть f . Интересно сопоставить $\nu(v'_n)$ и $A(v'_n, \zeta_n)$ при $\zeta_n = 0$.

$$A(v'_n, 0) = (2\sqrt{\pi} N_a \sigma_0 f / \bar{u}) (m/\mu)^2 I_1(v'_n, \beta) \int_0^\infty F(\eta) d\eta;$$

$$\nu(v'_n) = 4\sqrt{\pi} N_a \sigma_0 \bar{u} (mf/\mu\bar{u})^2 I_2(v'_n, \beta) \int_0^\infty F(\eta) \eta d\eta; \quad (2.22)$$

$$\delta(v'_n, \beta) \equiv \nu(v'_n) / 2 A(v'_n, 0) = \langle \eta \rangle_f I_2(v'_n, \beta) / I_1(v'_n, \beta);$$

$$\langle \eta \rangle_f = \left(\int_0^\infty F(\eta) \eta d\eta \right) / \left(\int_0^\infty F(\eta) d\eta \right).$$

$$I_1 = \frac{1}{\pi} \iint_{-\infty}^{\infty} [x^2 + (y/\sqrt{1+\beta^2} + v''/\bar{u})^2]^{S/2} e^{-x^2-y^2} dx dy; \quad (2.23)$$

$$I_2 = \int_0^{\infty} x e^{-x^2} dx \int_{-\infty}^{\infty} [x^2 + (y/\sqrt{1+\beta^2} + v''/\bar{u})^2]^{(S-1)/2} e^{-y^2} dy.$$

Поскольку $\nu(v'')$ есть площадь под графиком $A(v'', \xi'')$ как функции ξ'' , величина $\delta(v'', \beta)$ характеризует ширину ядра и в дальнейшем будет называться его эффективной шириной. При малых v''/\bar{u} имеем:

$$I_1(0, \beta) = [(1+\beta^2/2)/(1+\beta^2)]^{S/2} \Gamma(1+S/2) {}_2F_1\left(-\frac{S}{4}, \frac{1}{2}-\frac{S}{4}; 1; \left[\frac{\beta^2}{2+\beta^2}\right]^2\right);$$

$$I_2(0, \beta) = \Gamma(1+S/2) {}_2F_1\left(\frac{1}{2}, \frac{1-S}{2}; \frac{3}{2}; \frac{\beta^2}{1+\beta^2}\right). \quad (2.24)$$

Легко показать, что гипергеометрическая функция в $I_1(0, \beta)$ изменяется в интервале 0,900; 1 при $0 < \beta < \infty$; $0 \leq S \leq 2$. В этой же области β, S функция ${}_2F_1$ в $I_2(0, \beta)$ изменяется в пределах $\pi/4 \div \pi/2$. Если же фиксировать S , то $\delta(v'', \beta)$ увеличивается в $\pi/2$ раз при переходе от $\beta=0$ к $\beta \rightarrow \infty$. Таким образом, с точностью до множителя порядка единицы, $\delta(0, \beta)$ совпадает с шириной f дифференциального сечения. Если

$v''/\bar{u} \gg 1$, то

$$I_1(v'', \beta) \cong (v''/\bar{u})^S; I_2(v'', \beta) \cong \frac{\sqrt{\pi}}{2} \left(\frac{v''}{\bar{u}}\right)^{S-1};$$

$$\delta(v'', \beta) \cong \frac{\sqrt{\pi}}{2} f \langle \eta \rangle (\bar{u}/v'') \quad (2.25)$$

В этом случае $\delta(v'', \beta)$ может оказаться меньше, чем f . Этот универсальный эффект сужения ядра существует лишь для немалых β , т.к. при $\beta < 1$ условие $v''/\bar{u} = \beta v''/\bar{u} \sqrt{1+\beta^2} \gg 1$ выполняется в практически неинтересной области очень больших v''/\bar{u} .

Обычной характеристикой дифференциального сечения является его ширина f_u в ζ -системе. Согласно закону сохранения импульса $m(\vec{v}' - \vec{v}) = \mu(\vec{u}' - \vec{u})$. Поэтому ширина f_u в $m/\mu = (m + m_a)/m_a$ раз больше, чем f . Следовательно, и ядро $A(v'_u, \zeta_u)$ может быть значительно уже, чем $\sigma(u, |\vec{u}' - \vec{u}|)$, если $m/m_a \gg 1$:

$$\delta_j \sim f = \frac{m_a}{m + m_a} f_u. \quad (2.26)$$

3. Борновское приближение

В борновском приближении (см., например, /10/) дифференциальное сечение зависит только от $|\vec{u}' - \vec{u}|$ и (2.4) принимает вид:

$$A(\vec{v}', \vec{v}) = N_a \bar{v}_a \sqrt{\pi} \sigma_0 F(\xi) \frac{1}{(\sqrt{\pi} \alpha \bar{v})^3} \frac{1}{\xi} \exp \left\{ - \left(\frac{\xi}{\alpha \bar{v}} - \frac{\vec{\xi} \vec{v}'}{\bar{v} \cdot \vec{\xi}} \right)^2 \right\}. \quad (3.1)$$

Согласно (3.1), ядро $A(\vec{v}', \vec{v})$ содержит три разнородных множителя: "кинетический множитель" $\sqrt{\pi} \sigma_0 N_a \bar{v}_a$ (частота столкновений для сечения $\sqrt{\pi} \sigma_0$); "квантово-механический множитель" $F(\xi/f)$, возникающий из решения задачи о столкновении двух частиц; остальные множители возникают в результате усреднения по скоростям возмущающих частиц, и их естественно назвать "статистическими".

Борновское приближение является частным случаем модели (2.18) (при $S=0$), и характеристики (2.22) селективного одномерного ядра принимают особо простой вид, а именно:

$$I_1(v'_u, \beta) = 1; \quad I_2(v'_u, \beta) = \sqrt{\pi} \frac{\sqrt{1+\beta^2}}{\beta} \int_{v'_u/\bar{v}}^{\infty} \Phi(\beta y) e^{-y^2 - v''_u^2/\bar{v}^2} dy; \quad (3.2)$$

$$I_2(0, \beta) = \frac{\sqrt{1+\beta^2}}{\beta} \operatorname{arctg} \beta; \quad I_2(v'_u, 0) = 1;$$

$$I_2(v''_1, 1) = \frac{\pi}{2\sqrt{2}} [1 - \phi^2(v''_1/\bar{v})] \exp(v''_1^2/\bar{v}^2);$$

$$I_2(v''_1, \beta) \Big|_{\beta \rightarrow \infty} = \frac{\pi}{2} [1 - \phi(\frac{v''_1}{\bar{v}})] \exp(v''_1^2/\bar{v}^2)$$

Согласно (3.2) и (2.22), одномерное ядро в точке $\xi''_1 = 0$ не зависит от v''_1 ; частота $\nu(v''_1)$ уменьшается с ростом $|v''_1|$, причем, эта зависимость тем сильнее (в шкале $|v''_1/\bar{v}|$), чем больше β (см. кривые 5-7 рис. 2). Однако в практически интересной области $v''_1 \leq \bar{v}$ частота уменьшается не более, чем в два раза.

Рассмотрим более подробно гауссово сечение

$$F(\xi/f) = \exp(-\xi^2/f^2); \quad f = \sqrt{2} \hbar/m a, \quad (3.3)$$

соответствующее гауссовому потенциалу взаимодействия /10/

$$\mathcal{U}(z) = U_0 \exp(-z^2/\alpha^2). \quad (3.4)$$

В этом случае находим

$$f(v'_1, \bar{v}) = N_a \bar{v}_a 4\pi \sigma_0 \frac{1}{\xi(\sqrt{\mu} \alpha \bar{v})^3} \exp\left\{-\left[\xi^2/f^2 + (\xi/\alpha \bar{v} - \xi v'_1/\xi \bar{v}_a)^2\right]\right\};$$

$$f(v''_1, \xi_1) = \frac{f_0}{2} \left\{ \left[1 - \phi\left(\frac{\sqrt{1+b^2}-\beta}{2\beta} |x| + \beta \frac{v''_1}{\bar{v}} \frac{x}{|x|}\right) \right] \cdot \right. \quad (3.5)$$

$$\cdot e^{-\left[\frac{\sqrt{1+b^2}+1}{2} x - \frac{v''_1}{\bar{v}}\right]^2} + \left[1 - \phi\left(\frac{\sqrt{1+b^2}+\beta}{2\beta} |x| - \beta \frac{v''_1}{\bar{v}} \frac{x}{|x|}\right) \right] \cdot$$

$$\cdot e^{-\left[\frac{\sqrt{1+b^2}+1}{2} x + \frac{v''_1}{\bar{v}}\right]^2} \} e^{(v''_1/\bar{v})^2}; \quad f_0 = \frac{2\pi\sigma_0 N_a m}{\mu \sqrt{1+b^2}};$$

$$b^2 = 2 \left(\frac{\mu \bar{v}_a}{\pi}\right)^2 = \left(\frac{2\mu \bar{v}}{m f}\right)^2; \quad x = C \frac{v''_1 - v''_1}{\bar{v}} = \frac{m \bar{v}^2}{\mu \bar{v}^2} \frac{v''_1 - v''_1}{\bar{v}};$$

$$\langle v \rangle = \frac{2}{\sqrt{\pi}} \bar{v} \frac{4\pi}{1+b^2} \sigma_0 N_a; \quad \delta(v''_1, \beta) = \frac{2}{\sqrt{\pi}} \frac{\nu(v''_1)}{\nu(0)} \frac{\arctg \beta}{\sqrt{1+b^2}} \frac{\mu \bar{v}^2}{m \bar{v}^2} \bar{v}.$$

Отметим, прежде всего, что при выполнении условия

$$(\arctg \beta) / \sqrt{1 + b^2} \ll 1 \quad (3.7)$$

эффективная ширина $\delta(v'_n, \beta)$ мала в сравнении с единицей измерения ($\mu \bar{v}^2 / m \bar{v}^2$) для X . Физический смысл критерия (3.7) очень прост: и малая масса возмущающей частицы ($\beta \ll 1$), и селективность "квантово-механического множителя" ($b^2 \gg 1$) обеспечивают селективность одномерного ядра. В случае $b^2 \gg 1$ имеем:

$$\begin{aligned} \delta(v'_n, \beta) &= \frac{\mathcal{V}(v'_n)}{\mathcal{V}(0)} \frac{\sqrt{1 + \beta^2}}{\sqrt{\pi} \beta} \arctg \beta = \\ &= \frac{\mathcal{V}(v'_n)}{\mathcal{V}(0)} \sqrt{\frac{1 + \beta^2}{\pi \ln 2}} \frac{1}{\beta} f_{1/2} \arctg \beta. \end{aligned} \quad (3.8)$$

где $f_{1/2} = \sqrt{\ln 2} f$ — есть полуширина сечения на полувысоте. Комбинация $(\pi \ln 2)^{-1/2} \sqrt{1 + \beta^{-2}} \arctg \beta$ изменяется от 0,678 до 1,065 при $0 < \beta < \infty$, и формула (3.8) хорошо иллюстрирует общее соотношение (2.26).

Формула (3.6) содержит простые предельные случаи

$$A(v'_n, \xi_n) = A_0 [1 - \phi(b |x| \sqrt{1 + b^2} / 2\beta)], \quad \beta \ll 1;$$

$$A(v'_n, \xi_n) = A_0 [1 - \phi(b |x|/2)] e^{-(\frac{b|x|}{2})^2}, \quad \beta = 1, b \gg 1; \quad (3.9)$$

$$A(v'_n, \xi_n) = A_0 e^{-(\frac{b|x|}{2})^2} = A_0 e^{-(\xi_n/f)^2}, \quad \beta \gg 1, b \gg 1.$$

Графики этих функций приведены на рис. 3, ядра для других значений β (но $b \gg 1$) укладываются, очевидно, между кривыми 1 и 3. Для иллюстрации вариаций формы ядра, кривая для случая $\beta \rightarrow \infty$ приведена к той же ширине, что и кривая 1 (показана пунктиром). Полуширины ядер (3.9) равны соответственно

$$\delta_{1/2} = 0,477 \frac{2\beta}{\sqrt{1+\beta^2}} \bar{v} \mu \bar{v}^2 / m \bar{v}^2 = 0,845 \delta(0,0), \quad \beta \ll 1;$$

$$\delta_{1/2} = 0,882 \delta(0,1), \quad \beta = 1, b \gg 1; \quad (3.10)$$

$$\delta_{1/2} = \sqrt{\ln 2} \frac{2\bar{v}}{b} \mu \bar{v}^2 / m \bar{v}^2 = 0,940 \delta(0,\infty) = f_{1/2}, \quad \beta \gg 1, b \gg 1.$$

Таким образом, эффективные ширины близки к полуширинам при любых β , лишь бы выполнялось условие селективности (3.7). Числовые расчеты по формулам (3.6) показали, что при фиксированном значении $(1+\beta^2)^{-1/2}$ ~~даже~~ $\beta \leq 0,1$, ядра, отличающиеся по β (или b), изменяются не более, чем на 5 : 10%. Оказалось также, что форма ядра мало "чувствует" изменение U'' вплоть до $|U''| \leq \bar{v}/2$, а в пределах $|U''| \leq \delta$ симметрична с точностью до 1%. Поэтому практическим критерием селективности ядра может служить условие

$$\delta(U'', \beta) \leq 0,1 \bar{v} \quad (3.11)$$

4. Модель непроницаемых сфер

В этой модели $\sigma(u, m\zeta/\mu)$ дается формулой

$$\sigma(u, m\zeta/\mu) = \frac{\alpha^2}{4} \left\{ 1 + \left(\frac{m u}{m f} \right)^2 \left[\frac{2 J_1(\zeta/f)}{\zeta/f} \right]^2 \right\}; \quad f = \hbar/m a, \quad (4.1)$$

справедливой при $m a u / \hbar \equiv \alpha / \chi \gg 1$ (α - радиус сферы, $J_1(z)$ - функция Бесселя первого порядка). Сечение (4.1) содержит изотропную часть (единица в фигурных скобках) и резко селективную часть с полушириной на полувысоте, равной $1,616 f$. Сечения изотропного и селективного рассеяния равны каждое $\pi \alpha^2$, так что полная частота столкновений определяется сечением $2\pi \alpha^2$. Подстановка (4.1) в (2.4) и (2.14) дает

$$A(\vec{v}', \vec{v}) = \pi a^2 N_a \bar{v}_a \frac{1}{\pi^{3/2} (\alpha \bar{v})^2 \xi} \exp \left[-\left(\frac{\xi}{\alpha \bar{v}} - \frac{\vec{\xi} \vec{v}'}{\xi \bar{v}_a} \right)^2 \right]. \quad (4.2)$$

$$\cdot \left\{ 1 + \left(\frac{\alpha \bar{v}}{f} \right)^2 \left[1 + \frac{\xi^2}{(\alpha \bar{v})^2} + \beta^2 \frac{\vec{\xi}^2}{\bar{v}^2} \right] \left[\frac{2 J_1(\xi/f)}{\xi/f} \right]^2 \right\}.$$

$$V(\vec{v}') = N_a \bar{v}_a 2\pi \alpha^2 \left\{ \frac{1}{\sqrt{\pi}} e^{-z^2} + \left(z + \frac{1}{2z} \right) \phi(z) \right\}; \quad z = \frac{\vec{v}'}{\bar{v}_a}. \quad (4.3)$$

Изотропная часть в (4.1) представляет интерес в том отношении, что позволяет проследить роль только статистических эффектов. Наиболее наглядно они проявляются на одномерном ядре (формально оно получается из (3.6) при $b \rightarrow 0, \sigma_0 = \alpha^2/4$):

$$A(v'', \xi'') = \frac{1}{2} A_0 \left\{ 1 - \Phi \left(\frac{1+\beta^2}{2\beta} |x| - \beta \frac{v''}{\bar{v}} \frac{x}{|x|} \right) + \right. \\ \left. + \left[1 - \Phi \left(\frac{1-\beta^2}{2\beta} |x| + \beta \frac{v''}{\bar{v}} \frac{x}{|x|} \right) \right] \exp[-x(x - 2v''/\bar{v})] \right\}; \quad (4.4)$$

$$A_0 = \pi a^2 m N_a / 2\mu; \quad \beta = \bar{v}/\bar{v}_a; \quad x = m \bar{v}^2 (v'' - v'') / \mu \bar{v}^2 \bar{v}$$

$$V(v'') = \pi a^2 N_a \bar{v} \left\{ \frac{v''}{\bar{v}_a} \Phi \left(\frac{v''}{\bar{v}_a} \right) + \frac{1}{\sqrt{\pi}} I_2(v'', \beta) e^{-(v''/\bar{v}_a)^2} \right\}, \quad (4.5)$$

причем функция $I_2(v'', \beta)$ в (4.5) определена формулой (3.2). В предельном случае $\beta \ll 1$

$$A(v'', \xi'') \approx \frac{1}{2} A_0 \left[1 - \Phi(|x|/2\beta) \right] \left\{ 1 + \exp[-x(x - 2v''/\bar{v})] \right\}. \quad (4.6)$$

Ядро сконцентрировано вблизи точки $v_{\parallel} = v_{\parallel}'$ и имеет малую ширину $0,477 \cdot 2\beta$ (в шкале X). Как и в разделе 3, асимметрия ядра (4.6) малая.

При атом-атомных столкновениях обычно $T = T_a$, $\beta = \sqrt{m_a/m}$, и малая величина β - случай сравнительно редкий, т.к. для выполнения критерия (3.11) практической селективности необходимо $\beta \leq 0,1$, т.е. $m/m_a \leq 10^2$. В случае же столкновений с электронами $\beta = \bar{v}/\bar{v}_a \sim 10^{-3}$, однако, как правило, $T_a \sim 10^2 T$, и ширина ядра в шкале v_{\parallel} оказывается равной $0,477 \cdot 2\beta m \bar{v}^2 / m \bar{v}^2 \sim \beta T_a \bar{v} / T \sim 0,1 \bar{v}$.

Если $\beta \gtrsim 1$, то ядро (4.4) имеет большую ширину (порядка \bar{v}). Например, при $v_{\parallel}' = 0$ имеем:

$$f(0, v_{\parallel}) = f_0 \left\{ 1 - \Phi(v_{\parallel}/\bar{v}) + e \exp(-v_{\parallel}^2/\bar{v}^2) \right\}, \beta = 1; \quad (4.7)$$

$$f(0, v_{\parallel}) = f_0 e \exp[-(v_{\parallel}/\bar{v})^2], \quad \beta \gg 1.$$

Таким образом, для $\beta \gtrsim 1$ изотропная часть сечения (4.1) приводит к широкому ядру интеграла столкновений.

Переходя к селективной части рассеяния, рассмотрим предельные случаи $\beta \ll 1$ и $\beta \gg 1$. С помощью (2.20), (2.21) находим:

$$f(v_{\parallel}', \xi_{\parallel}) = f_0 \left\{ 1 - \frac{\pi}{2} \left[t \left[J_0^2(t) + J_1^2(t) \right] - J_0(t) J_1(t) - J_1^2(t)/2t \right] \right\}, \quad (\beta \ll 1),$$

$$f(v_{\parallel}', \xi_{\parallel}) = \frac{1}{2} f_0 \frac{3\pi}{8} H_1(2t)/t^2, \quad (\beta \gg 1, v_{\parallel}' \ll \bar{v}); \quad (4.8)$$

$$t = |\xi_{\parallel}|/f = |v_{\parallel}' - v_{\parallel}|/f, \quad f_0 = \frac{8}{3\sqrt{\pi}} \alpha^2 N_a \bar{v} / f; \quad f = \bar{v}/m_a,$$

где $H_1(2t)$ - функция Струве первого порядка. Графики функций (4.8) даны на рис.3; полуширины их равны соответственно $0,910 f$ и $1,573 f$. Здесь ясно видны те же закономерности, что и в Борновском приближении, - увеличение β уменьшает остроту "излома" ядерного приближения.

ра в точке $\xi_{\text{н}} = 0$ и увеличивает его полуширину, приближая ее к полуширине сечения $/1,616 f/$. Последнее утверждение хорошо прослеживается на эффективной ширине ядра:

$$\delta(v'_{\text{н}}, \beta) = f \frac{\gamma(v'_{\text{н}})}{\gamma(0)} \frac{3\pi}{16} \left[1 + \frac{1+\beta^2}{\beta} \operatorname{arctg} \beta \right] \frac{\sqrt{1+\beta^2}}{1+\beta^2/2 + \beta^2(v'_{\text{н}}/\bar{v})^2}. \quad (4.9)$$

При $v'_{\text{н}} = 0$ имеем монотонное увеличение $\delta(0, \beta)$ с ростом β в пределах $1,178 f + 1,851 f$, что очень близко к соответствующим полуширинам ядер.

5. Модель Ленарда-Джонса

Во многих случаях в потенциале взаимодействия можно выделить две характерные области расстояний: "внутренняя область", хорошо описываемая моделью непроницаемых сфер, и "внешняя область", в которой потенциальная энергия значительно меньше кинетической. Если предположить также малость длины волны де-Броиля, то для расчета рассеяния можно применить метод эйконала (см., например, /10-12/). Несложные вычисления приводят к следующему выражению для амплитуды рассеяния:

$$f(\theta) = i k a_1^2 \left\{ e^{i\psi} / 2ka_1 + J_1(qa_1)/qa_1 + \int_{a_1}^{\infty} J_0(q\rho) [1 - e^{i\psi(\rho)}] \frac{\rho d\rho}{a_1^2} \right\}; \quad (5.1)$$

$$\psi(\rho) = - \int_{-\infty}^{\infty} U(\sqrt{\rho^2 + z^2}) dz / \hbar u; q = 2k \sin \frac{\theta}{2}; k = \lambda^{-1} = \mu u / \hbar.$$

Параметр a_1 есть радиус непроницаемой сферы; член $J_1(qa_1)/qa_1$ дает дифракционное рассеяние на этой сфере, а член $\exp(i\psi)/2ka_1$ (ψ -несущественная для нас фаза) есть изотропное рассеяние, подсчитанное в классическом приближении (ср. с (4.1)).

Формула (5.1) будет конкретизирована для потенциала

$$U(r) = 4U_0 [(a/r)^{12} - (a/r)^6]. \quad (5.2)$$

Здесь U_0 есть глубина потенциальной ямы, α - радиус, при котором $U = 0$. Для (5.2) имеем:

$$\varphi(\rho) = \left[(\alpha/\rho)^5 - \frac{21}{32} (\alpha/\rho)^{11} \right] \varphi; \quad (5.3)$$

$$\varphi = \frac{3\pi}{2} \frac{U_0 a}{\mu u} = \frac{3\pi}{4} \frac{U_0}{\mu u^2/2} ka.$$

Рассмотрим некоторые особенности этой функции. Множитель φ определяется произведением малого ($2U_0/\mu u^2$) и большого ($ka = a/\lambda$) параметров, и во многих случаях $\varphi \gg 1$ (см. таблицу 1³). Максимальное значение $\varphi(\rho) = 0,402 \varphi$ достигается при $\rho/a = 1,063$. "Классический" же угол отклонения

$$2 \sin \frac{\theta_c}{2} \approx \theta_c = \frac{1}{\kappa} \frac{d\varphi(\rho)}{d\rho} = - \frac{\varphi}{ka} \left[5(\alpha/\rho)^6 - \frac{231}{32} (\alpha/\rho)^{12} \right] \quad (5.4)$$

имеет экстремальное значение

$$\theta_c = - \frac{50\pi}{77} \frac{2U_0}{\mu u^2} = - 2,038 \frac{2U_0}{\mu u^2} = - \frac{200}{231} \frac{\varphi}{ka} \quad (5.5)$$

при $\rho/a = 1,193$. Таким образом, если $\alpha \kappa \gg 1$ и $2U_0/\mu u^2 \ll 1$, то вся "внешняя часть" потенциальной кривой дает рассеяние на малые углы. Заметим теперь, что при $\rho = a$ имеем $\theta_c = 71\varphi/32ka$, последующее уменьшение ρ приводит к резкому увеличению θ_c . Следовательно, параметр α в (5.2) можно отождествить с радиусом a_1 непроницаемости в (5.1).

Для многих практически интересных объектов $\varphi \gg 1$ (см. таблицу 1). Поэтому особый интерес представляет асимптотическое поведение $f(\theta)$ при $\varphi \rightarrow \infty$. Для вычисления $f(\theta)$ и полного сечения рассеяния в этом случае достаточно в $\varphi(\rho)$ учитывать только член $(\alpha/\rho)^5$. С помощью простых выкладок находим:

3) Числовые значения параметров взяты из данных по вязкости, согласно /13/. В случае Ne речь идет об основном состоянии.

$$f(0) = i \kappa \rho_B^2 e^{i\pi/5} \Gamma(3/5)/2 = i e^{i\pi/5} 0,7446 \kappa \rho_B^2; \quad (5.6)$$

$$\rho_B = \alpha \varphi^{1/5};$$

$$\sigma(u) = \frac{4\pi}{\kappa} \operatorname{Im} f(0) = \pi \rho_B^2 \cos \frac{\pi}{5} \cdot \Gamma(3/5) = 2,41 \pi \rho_B^2.$$

Параметр $\rho_B = \alpha \varphi^{1/5}$ есть, очевидно, значение прицельного расстояния, для которого $\varphi(\rho_B) \sim 1$, т.е. практически совпадает с так называемым радиусом Вайскопфа. И $\sigma(u)$ и $|f(0)|$ определяются, как и следовало ожидать, величиной ρ_B . Эффективная ширина дифференциального сечения, определяемая как

$$\Delta \theta \equiv \left[\frac{\sigma}{4|f(0)|^2} \right]^{1/2} = \frac{\lambda}{\rho_B} \left[\frac{2\pi \cos(\pi/5)}{\Gamma(3/5)} \right]^{1/2} = \\ = 1,857 (\kappa \rho_B)^{-1} = 1,857 \frac{\lambda}{\rho_B}$$
(5.7)

также зависит от ρ_B и в наших условиях очень мала. Для приложений весьма важен тот факт, что полное сечение может быть значительно больше, чем сечение πa^2 изотропного рассеяния (в $2,41 \varphi^{4/5}$ раз). Это означает, что большая часть сечения связана с резко направленным селективным рассеянием (и классическим, и квантовым), и только малая часть - с изотропным рассеянием.

Интеграл в (5.1) был рассчитан⁴⁾ на ЭВМ, и некоторые из результатов даны на рис.4, где по оси ординат отложено отношение $|f(\theta)|^2 / |f(0)|^2$ как функция "дифракционной переменной"

$z = 2 \kappa \rho_B \sin(\theta/2)$. В этих переменных дифференциальное сечение оказывается мало чувствительным к величине φ при $\varphi \geq 5$ в области малых z , где расположен главный дифракционный максимум ($z < \pi$). Полуширина (на полувысоте) этого максимума равна, примерно, 1,20 (или $1,20/\kappa \rho_B$ в угловых переменных) и с изменением φ колеблется не более, чем на 5% (кривая 1 рис.4а). Эта величина примерно в 1,5 раза меньше, чем эффективная ширина

4) Вычисления на ЭВМ выполнены С.П.Петровой, и авторы приносят ей свою благодарность.

на $\Delta\theta$ (5.7), в отличие от случая непроницаемой сферы, где полуширина $1,616/ka$ и $\Delta\theta = 1,77/ka$ очень близки. Крылья функции $|f(\theta)|^2$, представленные на рис.4 в увеличенном масштабе ($\times 50$), испытывают заметные осцилляции, положение и амплитуда которых существенно зависит от φ . На рис.4а даны, как функции φ , значения $|f(0)|^2/(k\bar{\rho}_B)^2$. Эти характеристики осциллируют сильнее, чем полуширина, но также немногого (10 : 15%). Для удобства сравнения на рис.4 нанесены графики функции $[2J_1(0,743z)/0,743z]^2$, которая описывает дифференциальное сечение при рассеянии на непроницаемой сфере радиуса $\bar{\rho}_B \cdot 10,743$ и которая имеет примерно ту же полуширину (1,20 в единицах z), что и остальные кривые. Основное отличие этих кривых содержится в "крыльях": рассеяние на потенциале Ленарда-Джонса приводит к существенно более интенсивным "крыльям", чем в случае непроницаемой сферы. Это обстоятельство связано, очевидно, с "классическим" рассеянием в потенциале (5.2). Пунктирная гипербола на рис.4 дает "классическое" дифференциальное сечение для потенциала $\sim z^{-6}$, описываемое в наших обозначениях формулой

$$|f_{\text{кл.}}(\theta)|^2/|f(0)|^2 = \frac{2}{3} 5^{1/3} z^{-7/3} / [\Gamma(3/5)]^2 = 0,514 z^{-7/3};$$

$$z = 2ka \varphi^{1/5} \sin \frac{\theta}{2}. \quad (5.8)$$

Осцилляции графика $|f(\theta)|^2$ происходят примерно около кривой (5.8), что подтверждает приведенные соображения о причине появления "крыльев".

Из проведенного анализа дифференциального сечения следует, что с точностью до осцилляций оно имеет вид

$$\sigma(u, m \bar{\rho}_B / \mu) = \sigma_0 F(\xi \bar{u}^t / f u^t) \left(\frac{u}{\bar{u}} \right)^s; \quad f = 1,20 t / m \bar{\rho}_B;$$

$$\bar{\rho}_B = a \left[\frac{3\pi}{2} \frac{u_0 \alpha}{t \bar{u}} \right]^2; \quad \sigma_0 = (k \bar{\rho}_B)^2 [\Gamma(3/5)/2]^2;$$

$$t = 1/5, \quad s = 6/5 \quad (5.9)$$

Легко показать, что такое изменение модели (в сравнении с (2.18)) оставляет в силе формулы (2.19) - (2.25), если заменить $s \rightarrow t+s$

в $A(v'', \xi'')$, $I_1(v'', \beta)$ и $S \rightarrow S + 2t$ в $I_2(v'', \beta)$. Кроме того, в (2.20), (2.21) следовало бы заменить ξ'' на $\xi''(\bar{u}/\mathcal{U}_{\text{эфф}})^t$, где $\mathcal{U}_{\text{эфф}} \sim \sqrt{\bar{u}^2 + v''^2}$; поскольку, однако, $t=1/5 \ll 1$, эта замена имеет смысл лишь при $v'' \gg \bar{u}$.

Одномерные ядра, определяемые по (2.20), (2.21), получены численным интегрированием, и результаты представлены на рис.4. Как и сечение, ядро имеет резкую дифракционную часть и заметные "классические" крылья, спадающие по закону $\xi''^{-4/3}$. Полуширина центральной части равна $0,78f$ (для $\beta \ll 1$) и $1,30f$ (для $\beta \gg 1$, $v'' = 0$). Крылья приводят к тому, что эффективная ширина оказывается заметно больше полуширины ядра. Именно, с помощью (2.22), (2.24) нетрудно показать, что с ростом β эффективная ширина изменяется в пределах

$$1,59f \leq \delta(0, \beta) \leq 2,38f \quad (5.10)$$

Для анализа роли крыльев можно предложить, например, следующую аппроксимацию селективной части одномерного ядра:

$$A(z) = A_0 \left\{ \alpha_1 e^{-|z|/\tilde{\sigma}_1} + \alpha_2 \left[1 + \frac{2^{3/4}-1}{\tilde{\sigma}_2} |z| \right]^{-4/3} \right\}, \quad (5.11)$$

$$\alpha_1 + \alpha_2 = 1, \quad z = \frac{\xi''}{f} \varphi^{1/5},$$

где первый член описывает дифракцию (квантово-механическое рассеяние), а второй член ответственен за "классическое" рассеяние и наиболее существенен в крыльях. Коэффициенты α_1 , α_2 и характеристики ширин $\tilde{\sigma}_1$, $\tilde{\sigma}_2$ находятся из условия нормировки на максимум ($\alpha_1 + \alpha_2 = 1$), совпадения полуширины и эффективной ширины аппроксимации (5.11) и истинного ядра, а также при учете асимптотики ядра с помощью (5.8), (2.20), (2.21). Числовые оценки дают:

$$\beta = 0 : \quad \alpha_1 \approx 0,937; \quad \alpha_2 \approx 0,063; \quad \tilde{\sigma}_1 \approx 1,08; \quad \tilde{\sigma}_2 \approx 2,0; \quad (5.12)$$

$$\beta \rightarrow \infty : \quad \alpha_1 \approx 0,937; \quad \alpha_2 = 0,063; \quad \tilde{\sigma}_1 = 1,84; \quad \tilde{\sigma}_2 = 3,0.$$

Из (5.12) следует, что полуширины обоих членов в (5.11) одного порядка, а амплитуда второго значительно меньше ($\alpha_2 \ll \alpha_1$). Это, однако, не означает, что "классическим" рассеянием можно пренебречь. Определяющим здесь является соотношение полных сечений процессов, или частот столкновений, которые пропорциональны площадям ядер. Нетрудно убедиться, что интегралы по \vec{z} от обоих членов в (5.11) одного порядка ($\beta = 0$: $v_1/v_2 = 1,62$; $\beta \rightarrow \infty$: $v_1/v_2 = 2,05$).

Таким образом, в некоторых случаях "классическое" рассеяние может играть заметную роль, и характерное для него медленное спадание крыльев одномерного ядра может своеобразно проявиться на особенностях диффузии в пространстве скоростей.

6. Заключение

Подведем итоги анализа ядра при селективном рассеянии. Основной вывод состоит в том, что ядро в этом случае есть симметрическая функция от $U' - U$: это обстоятельство существенно упрощает решение уравнений (1.2) и анализ поведения атома во внешнем электромагнитном поле.

Основные свойства селективного ядра определяются, главным образом, видом дифференциального сечения рассеяния, а статистические условия (отношение температур и масс сталкивающихся частиц) играют второстепенную роль. Удобной характеристикой одномерного ядра является его эффективная ширина $\delta(U', \beta)$. В таблице 2 сведены значения $\delta(0, \beta)$ для трех моделей, рассматриваемых в разделах 3-5; здесь же даны значения полуширины ядра, эффективной ширины и полуширины дифференциального сечения. Бросаются в глаза следующие обстоятельства: при малых β полуширина ядра почти вдвое меньше полуширины сечения; при больших β ширина ядра приближается к ширине сечения; эффективные ширины почти копируют ширины ядер, если сечение не имеет "крыльев", и почти вдвое превышают ширину ядра в модели Ленарда-Джонса, что обусловлено наличием мощных "крыльев".

Если в качестве независимой переменной выбрать ξ'/δ , то из таблицы 2 легко заметить, что одномерные ядра в первых двух моделях оказываются очень близкими (см. рис. 5), поэтому δ можно считать основной характеристикой ядра, а критерий практической селективности (3.11) приобретает универсальное, не зависящее от модели значение.

Таблица 1. Параметры модели Ленарда-Джонса

Сталкив. частицы	$\alpha(\text{\AA})$	$\frac{U_0}{K_B} (\text{^{\circ}К})$	$T(\text{^{\circ}К})$	$\frac{U_0}{K_B T}$	φ	k_a	$241\psi^{2/5}$	$1,85(K_B)^{-1}$
$Ne - Ne$	2,79	35,7	380	0,094	8,0	36	5,5	$3,4 \cdot 10^{-2}$
$CO_2 - CO_2$	4,0	190	1000	0,190	54	120	11,9	$0,62 \cdot 10^{-2}$
$CO_2 - N_2$	3,89	132	1000	0,132	32	104	9,7	$0,89 \cdot 10^{-2}$

Таблица 2. Ширины сечений и ядер

Модель:	Гауссово сечение	Непроницаемой сферы			Ленарда- Джонса		
Полуширина дифференц.се- чения $f_{1/2}$	$\sqrt{2 \ln 2} \frac{\hbar}{ma}$	$1,616 \frac{\hbar}{ma}$			$1,20 \frac{\hbar}{m \bar{g}_B}$		
Эффективная ширина сечения	$0,753 \frac{m}{\mu} \frac{f_{1/2}}{\bar{u}}$	$1,097 \frac{m}{\mu} \frac{f_{1/2}}{\bar{u}}$			$1,539 \frac{m}{\mu} \frac{f_{1/2}}{\bar{u}}$		
β	0	1	∞	0	1	∞	0
Полуширина ядра	0,573	0,659	1	0,563	0,973	0,650	1,033
$\delta_{1/2} / f_{1/2}$							
Эффективная ширина ядра	0,678	0,752	1,065	7,729	0,884	1,145	1,324
$\delta / f_{1/2}$							1,536
							1,98

Л и т е р а т у р а

1. С.Г.Раутиан, И.И.Собельман. УФН, 90, 209, 1966.
2. С.Г.Раутиан. ЖЭТФ, 51, 1176, 1966.
3. И.И.Собельман. Введение в теорию атомных спектров. Физматгиз, 1963.
4. А.П.Колченко, А.К.Попов, С.Г.Раутиан, С.А.Черкасов. Доклад на Всесоюзном симпозиуме по физике газовых ОКГ. Новосибирск, 30 июня - 4 июля 1969 г.
5. Ю.А.Вдовин, В.М.Галицкий, В.М.Ермаченко. Доклад на Всесоюзном симпозиуме по физике газовых ОКГ. Новосибирск, 30 июня - 4 июля 1969 г.
6. *T. Hänsch, P. Toschek*. Доклад на Всесоюзном симпозиуме по физике газовых ОКГ. Новосибирск, 30 июня - 4 июля 1969 г.
7. *T. Hänsch, P. Toschek*. IEEE, QE-5, 61, 1969.
8. *P. R. Bergman, W.E. Lamb, Jr.*, Phys. Rev., 2A, 2435, 1970.
9. *J. Keilson, J.E. Storer*. Quart. Appl. Math., 10, 243, 1952.
10. Л.Д.Ландау, Е.М.Лифшиц. Квантовая механика. Физматгиз, 1963.
11. Р.Ньютон. Теория рассеяния волн и частиц, стр.532, изд. "Мир", Москва, 1969.
12. М.Гольдберг, К.Ватсон. Теория столкновений, стр. 297, изд. "Мир", 1967.
13. Дж.Гиршфельдер, Ч.Керпшес, Р.Берд. Молекулярная теория газов и жидкостей. Изд. ИЛ, Москва, 1961.

Подписи к рисункам

Рис.1. Иллюстрация к законам сохранения импульса и энергии при упругих столкновениях.

Рис.2. Зависимость трехмерной и одномерной частоты от скорости. Кривые 1-4 - трехмерная частота $\mathcal{V}(\vec{v})/\mathcal{V}(0) : 1) \eta = 0,$ 2) $\eta = 1, 3) \eta = 2, 4) \eta = 2/5.$ Кривые 5-11 - одномерная частота $\mathcal{V}(v)/\mathcal{V}(0) : 5) S = 0, \beta = 0, 6) S = 0, \beta = 1; 7) S = 0, \beta \rightarrow \infty;$ 8) $S = 2, \beta = 1; 9) S = 2, \beta \rightarrow \infty; 10) S = 2, \beta = 0; 11) S + 2t = 8/5, \beta \rightarrow \infty; 12) S + 2t = 8/5, \beta = 0.$

Рис.3. Форма селективного ядра для гауссовой модели и модели непроницаемых сфер. Кривые 1-3 отвечают гауссовой модели: 1) $\beta \ll 1; 2) \beta = 1, \delta \gg 1; 3) \beta \gg 1, \delta \gg 1.$ Кривые 4-5 - модели непроницаемых сфер: 4) $\beta \ll 1; 5) \delta \gg 1, \beta \gg 1.$

Рис.4. Графики дифференциального сечения и селективного ядра для потенциала Ленарда-Джонса. Рис.4а иллюстрируем зависимость от φ некоторых характеристик сечения.

Рис.5. Графики одномерных ядер как функции $\xi_1/\delta.$

1) $S = 0, \beta \ll 1; 2) S = 0, \beta = 1; 3) S = 0, \beta \gg 1; 4) S = 2, \beta \ll 1;$
5) $S = 2, \beta \rightarrow \infty; 6) S + 2t = 8/5, \beta \ll 1; 7) S + 2t = 8/5, \beta \gg 1.$



1 энп

1800-1820-30 (31) 1820-30-40 (41) 1820-30-40 (42) 1820-30-40 (43)

A geometric diagram consisting of a large right-angled triangle. A dashed line originates from the right-angle vertex at the bottom-right corner and extends upwards and to the left, meeting the hypotenuse at a point. This creates two smaller triangles: one on the left with vertices at the bottom-left corner, the dashed line intersection, and the hypotenuse; and another on the right with vertices at the top-right corner, the dashed line intersection, and the hypotenuse.

J. Kelson, B.C. University, Victoria, B.C., Canada V8T 1W9

A diagram of a right-angled triangle. The vertical leg is labeled V , and the angle at the bottom-left vertex between the vertical leg and the hypotenuse is labeled θ .

Figure 10. The effect of the angle of incidence on the reflection coefficient.

A geometric diagram illustrating a construction. A point labeled 'O' is at the bottom right. A vertical dashed line passes through 'O'. A solid line segment connects 'O' to a point on the dashed line. The angle between the solid line segment and the dashed line is labeled with a question mark '?'.

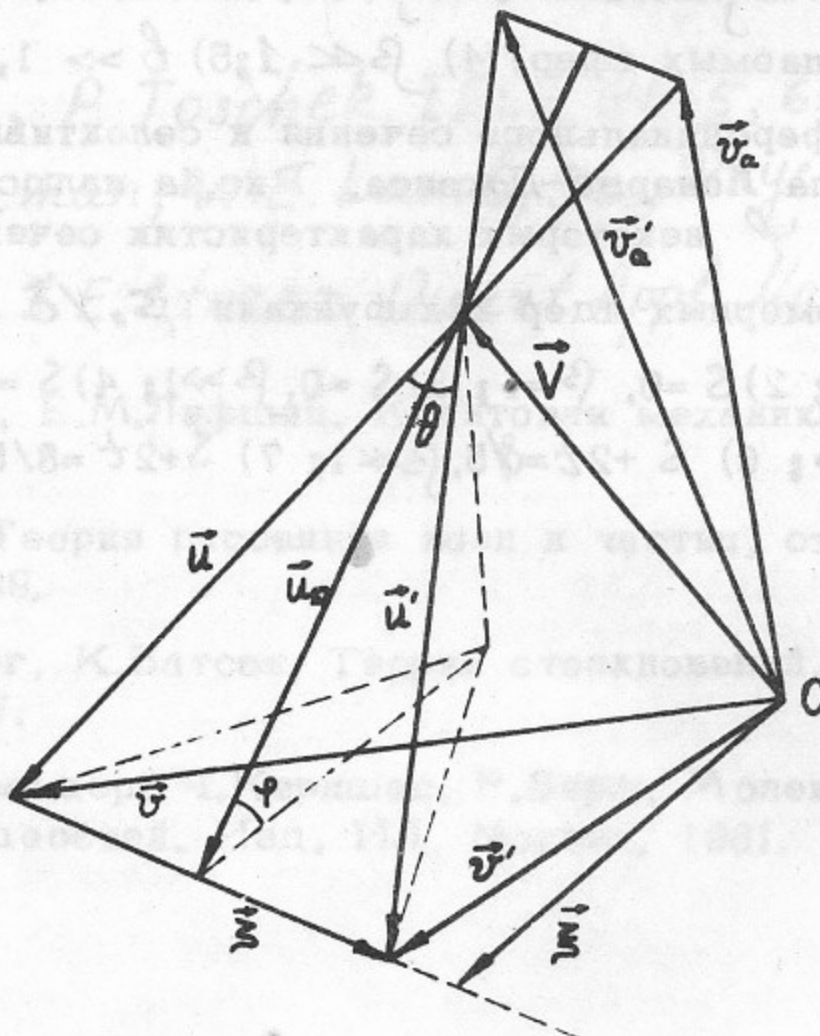


Рис. 1

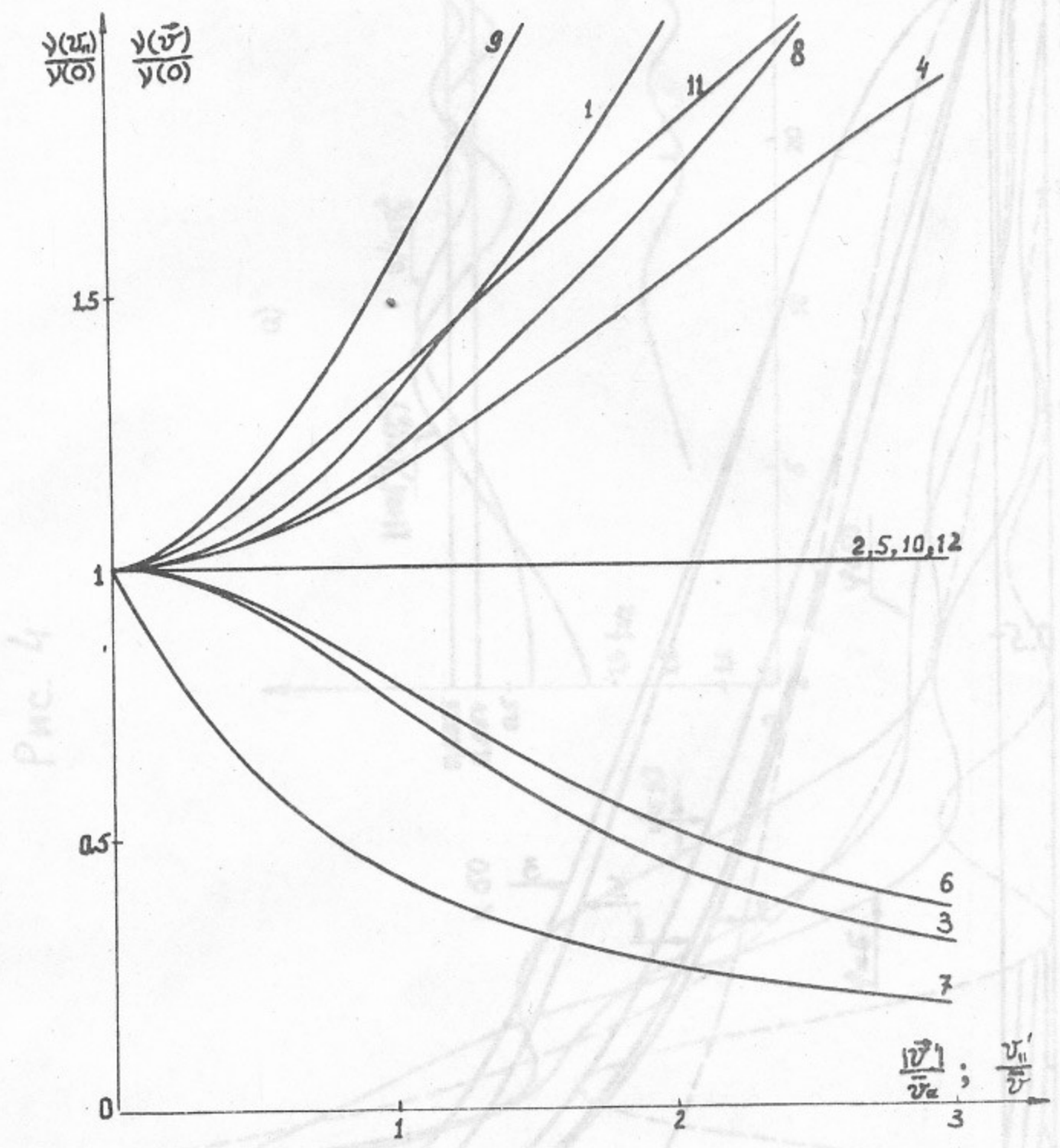


Рис. 2

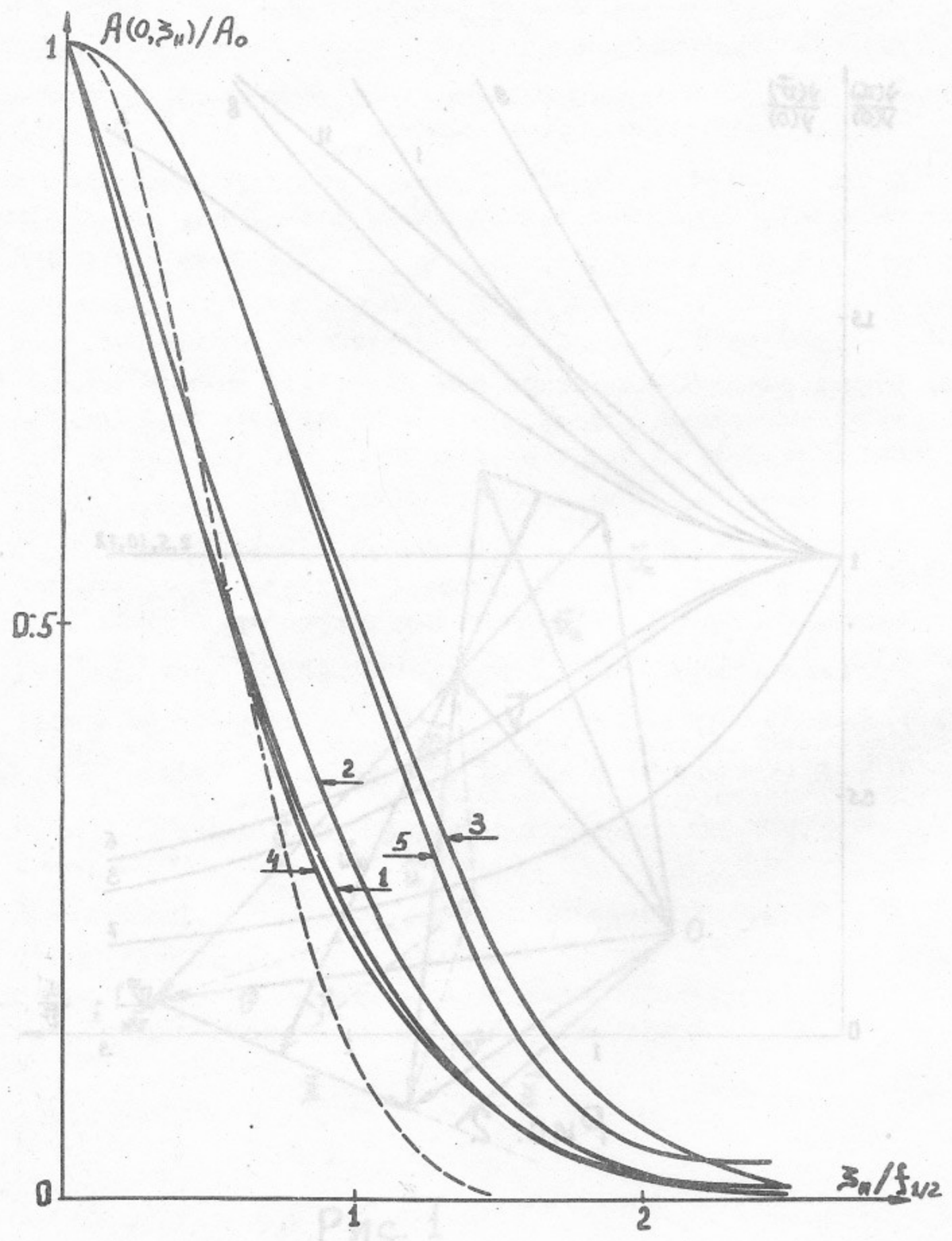
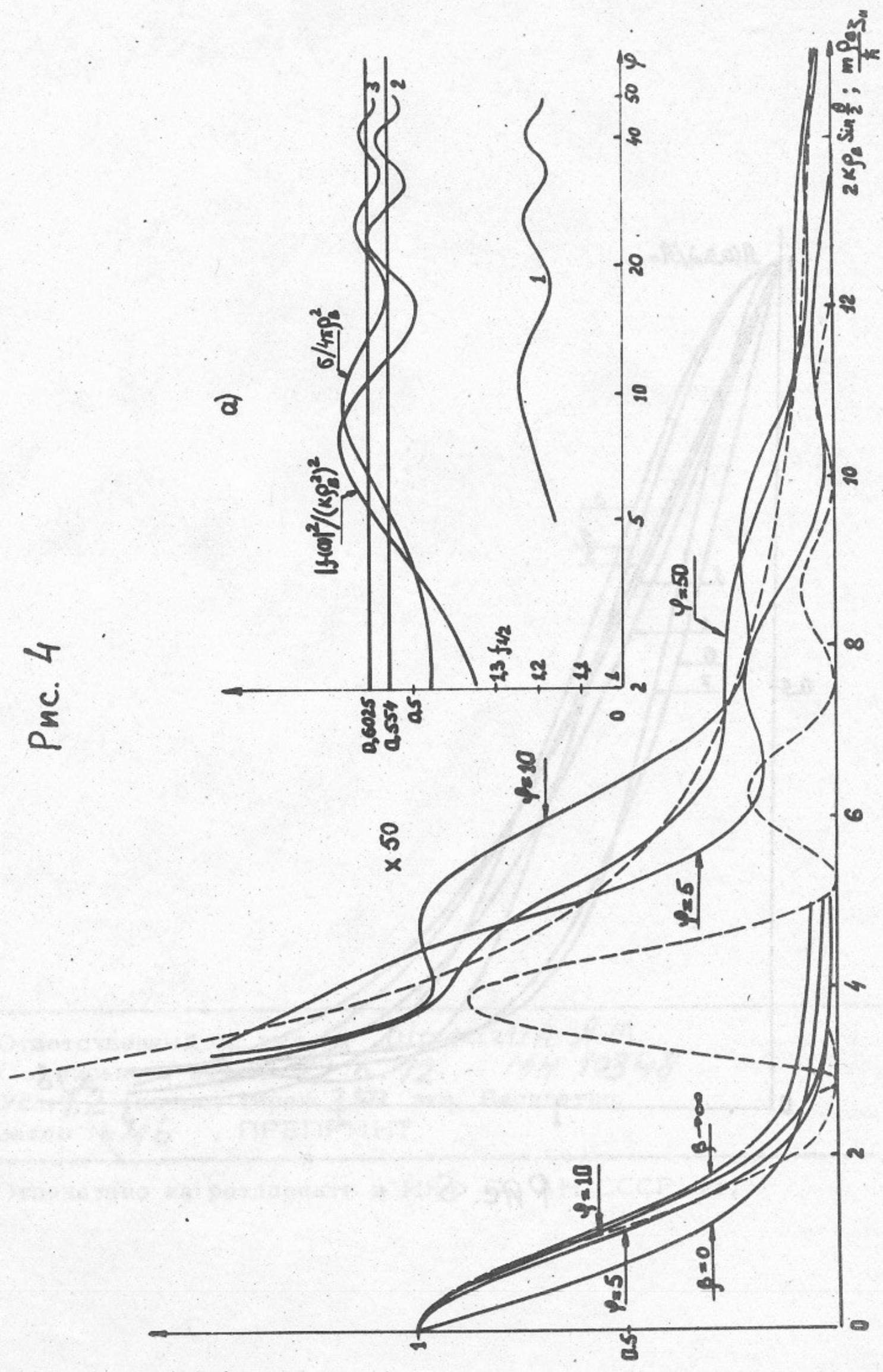
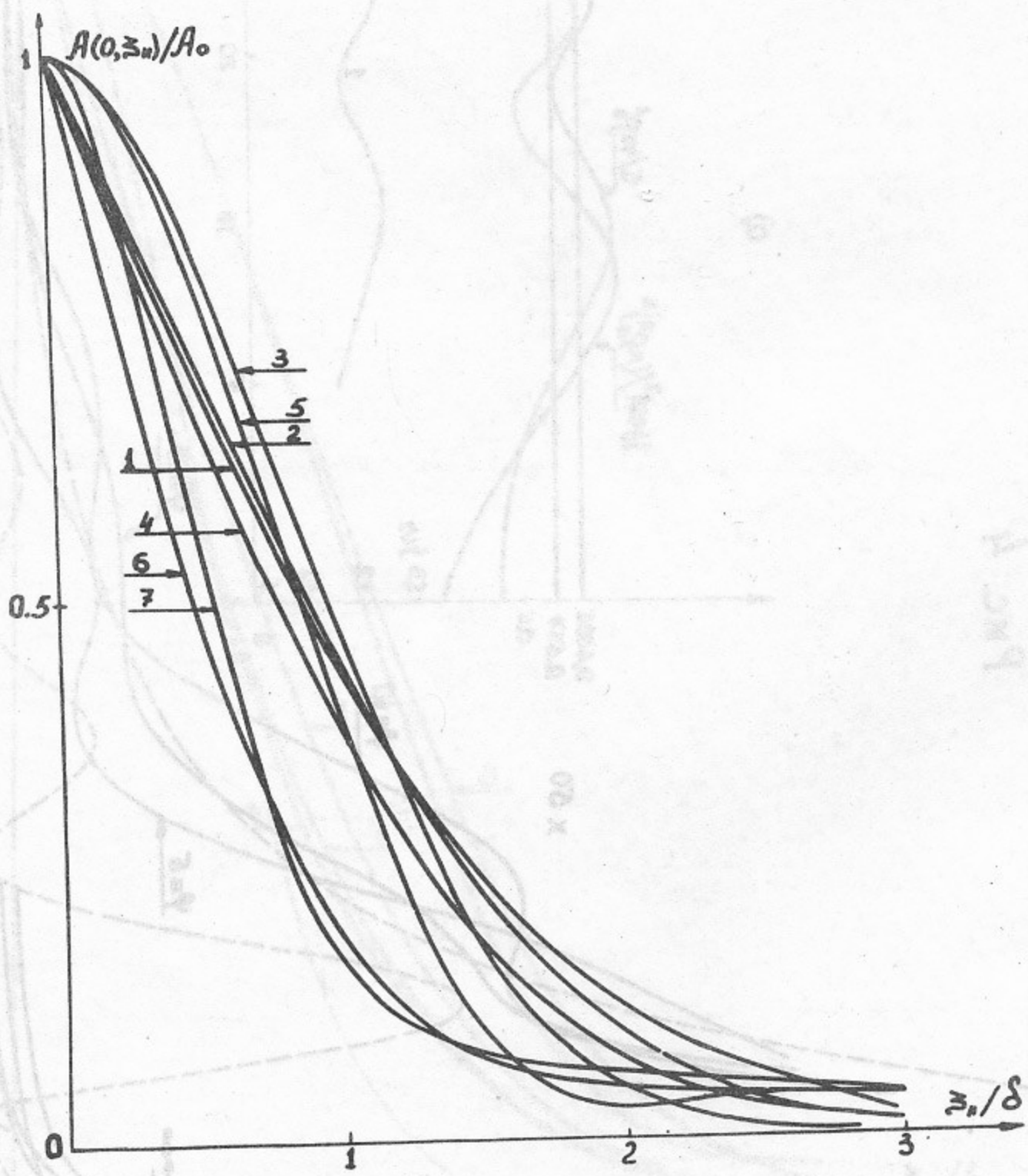


Рис. 3

Fig. 4





Pnc. 5

Ответственный за выпуск Шалагин А.М.
Подписано к печати 12.6.72 № 10348
Усл. 1,2 печ.л., тираж 250 экз. Бесплатно.
Заказ № 46 . ПРЕПРИНТ

Отпечатано на ротапринте в ИЯФ СО АН СССР, вг.